Том 95

1995

No 2

ФИЗИКА

УДК 535.37

П. Р. Агамалян, Э. С. Вартанян, П. А. Гамбарян, Л. М. Казарян, Р. Б. Костанян, Р. С. Микаелян, Р. К. Овсепян

Исследование условий образования центров рассеяния и фотоактивных центров в кристаллах молибдата свинца

(Представлено академиком НАН Армении М. Л. Тер-Микаеляном 5/VII 1993)

Кристаллы молибдена свинца (PbMoO₄) нашли широкое применешие в устройствах управления лазерным излучением. Несмотря на разработанность технологии его получения, наличие рассеивающих центров и подверженность фотохромизму ограничивают применение кристаллов PbMoO₄. В настоящей работе рассматриваются причины, обусловливающие указанные недостатки и возможность их устранения.

Фотохромные свойства кристаллов молибдата свинца проявляются в увеличении поглощения кристалла под воздействием оптического излучения УФ диапазона. Наведенное изменение поглощения сохраняется около пяти лет и восстанавливается при нагревании кристалла выше 200° С. Дефекты, приводящие к возникновению центров рассеяния и фотоактивных центров, могут быть обусловлены нарушением стехнометрии кристаллов или неконтролируемыми примесями (1-7). Поэтому во всех исследуемых образцах некотролируемые примеси были сведены к минимуму очисткой исходных компонент до уровня обнаружения их атомно-абсорбционным анализом.

Образцы, выращенные из шихты, изготовленной керамическим или гидрометаллургическим способами (8), не проявили различий в спектральных и фотохромных свойствах. Кристаллы выращивались методом Чохральского. Скорости вытягивания кристалла из расплава и вращения составили 2 мм/ч и 30 об/мии, соответственно. Скорость охлаждения 50° С/ч. Ввиду чрезвычайной узости области гомогенности (9) в процессе синтеза или выращивания $PbMoO_4$ возможно включение в кристалл как фазы Pb_2MoO_5 , так и избытков Pb или Mo. Все включения приводят к рассеянию света в кристаллах из-за существенных различий в их коэффициентах преломления. Так, фаза Pb_2MoO_5 (пространственная группа $2/m-C_{2h}$) имеет показатели преломления $n_x=2,183$, $n_y=2,191$ и $n_z=2,318$, а $PbMoO_4$ (пространственная группа $4/m-C_{4h}$) — $n_x=2,481$ и $n_y=2,33$ (10).

Для исключения такого рассеяния необходимо синтезирование шихты стехнометрического состава. Это достигалось избирательным растгорением испрореагировавших окислов PbO и MoO, уксусной кислотой (CH₈COOH), и аммиачной водой (NH₄OH), соответственно. Ни один из указанных растворителей не растворяет РьМоО₄. И синтезированной таким образом шихты выращивались кристаллы с добавлением 1 мас. % МоО₈, или 1 мас. % РьО.

Во всех выращенных по этой методике кристаллах наблюдались центры рассеяния. В кристаллах, выращенных с добавкой РьО, фотохромного эффекта не наблюдалось, а кристаллы, выращенные с добавкой МоО₃ и без добавок, обладали фотохромным эффектом. Наличие фотохромного эффекта в них, по-видимому, обусловлено избытком нонов Мо. Это возможно, если предположить наличие в шихте помимо МоО₃ других низковалентных окислов Мо (МоО₂, Мо₂О₅, Мо₄О₁₁ и т. д.), которые не растворяются в NH₄OH и остаются в системе.

Поэтому в разработанной нами методике выращивания кристаллов молибдата свинца было осуществлено доокисление низковалентных окислов Мо до состояния МоО₃ азотной кислотой (HNO₁), перекисью водорода (H₂O₂) или их смесью. В последнем случае сооти чисние кис-

лоты и перекиси водорода брали согласно реакции

$$2M_0O_2$$
 ($M_0O_2O_5$, $M_0O_1O_{11}$) + H_2O_2 + $2H_0O_3$ + $2M_0O_3$ + $2NO_2$ + $2H_2O_3$.

Доокисленный до МоО_з избыток Мо можно вывести из шихты, как указывалось выше, растворением в NH₄OH. Возможный избыток PbO

из шихты выводится в виде водорастворимого нитрата свинца.

В кристаллах молибдата свинца, выращенных из шихты, изготовленной по предложенной методике, исследовался фотохромный эффект. Образцы для спектральных исследований представляли собой плоско-параллельные пластинки с оптической осью С, лежащей в плоскости образца. Поляризованные спектры пропускания регистрировались спектрофотометром Specord M-40. В качестве источника УФ-излучения для наведения фотохромного эффекта использовалась ртутная лампа ДРШ-100 с набором фильтров Плотность мощности на поверхности кристалла составляла 1,2 мВт/см², максимальное время засветки составляло 50 ч.

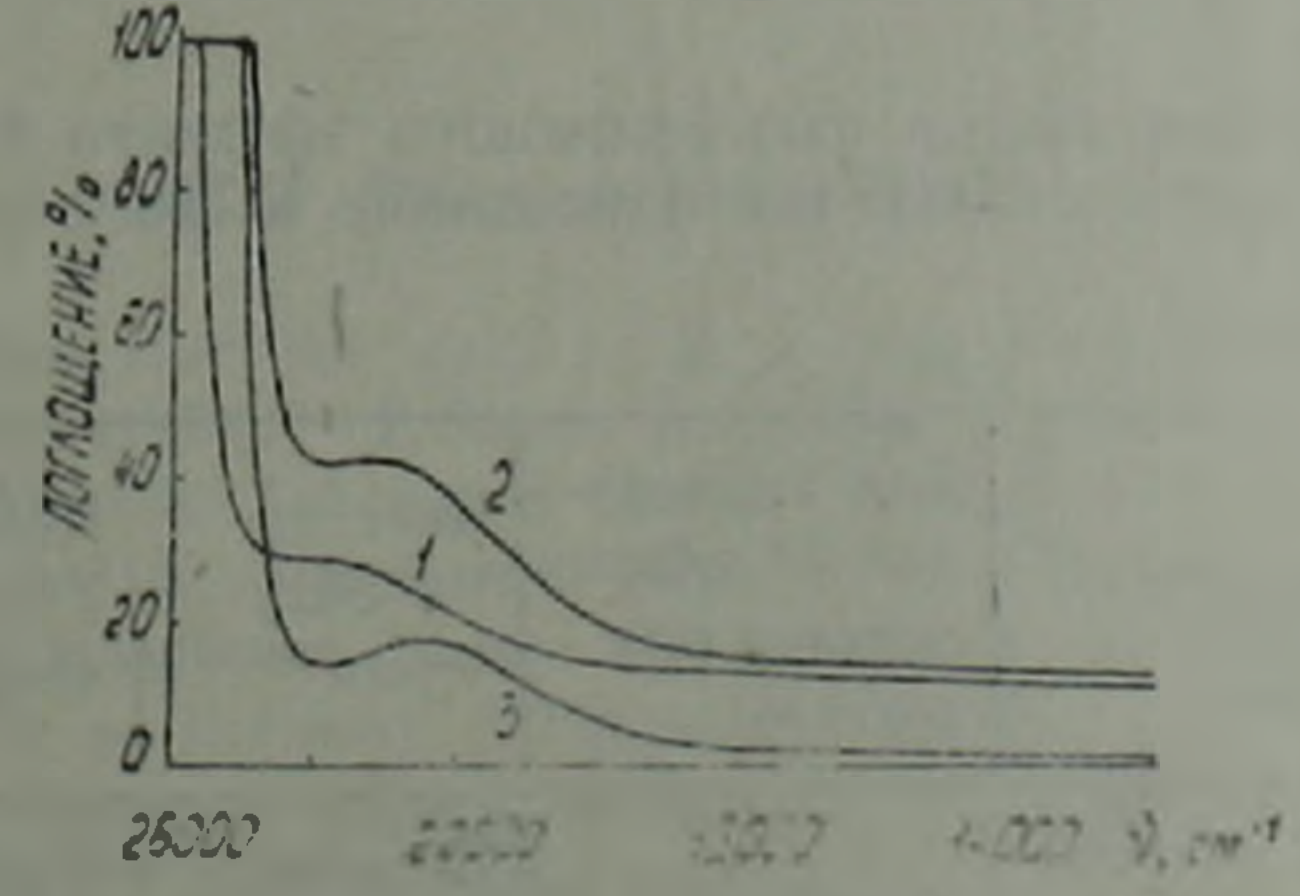


Рис. 1 Поляризационные л (1; — 126 им) и σ (2; λ_{max} =437 им) спектры поглощения кристалла РьМоО₄ (кристалл № 1 в таблице). З разностный между л и σ поляризационный спектр того же кристалла (λ_{max} 450 им)

На рис. 1 показаны поляризованные слектры поглощения кристаллов PbMoO₄ с 1 мас. % PbO. В кристаллах молибдата свинца, выращенных с добавкой PbO и имеющих характерный желтый цвет, в л (оптическая ось С параллельна вектору Е световой волны) и σ- (оптиче-95 ская ось С перпендикулярна вектору Е световой волны) поляризованных спектрах присутствует известная полоса поглощения, длина волны которой в максимуме составляет 437 нм в о и 426 нм л-спектрах. Под воздействием УФ-излучения эти кристаллы не изменяют своего цвета, оптической прозрачности и местоположения полосы поглощения.

Кристаллы молибдата свинца, выращенные с добавкой 1 мас. % MoO_3 , не имеют характерной полосы в области 430-450 нм и являются практически бесцветными, но после воздействия УФ-излучения ве-

дут себя по-разному (таблица).

Кристаллы, которые выращены из компонент, подвергнутых обработке только азотной кислотой или только перекисью водорода, показывают равномерное уменьшение оптической прозрачности—в широкой спектральной области кристаллы чернеют (рис. 2). Те же кристаллы

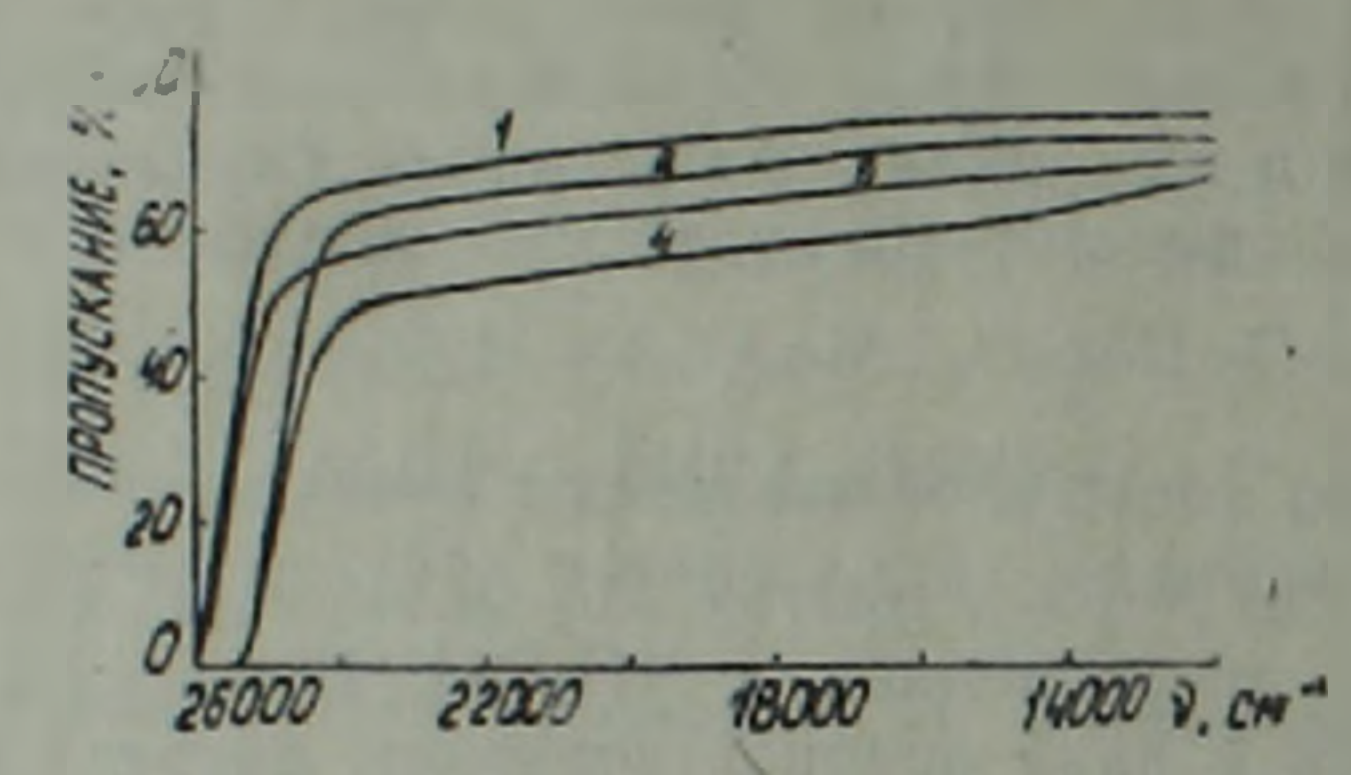


Рис. 2. Поляризационные л (1 и 3) и σ (2 и 4) спектры пропускания кристалла РЬМоО₄ (кристалл № 2 в таблице) до (1 и 2) и после УФ облучения (50 ч).

молибдата свинца с добавкой 1 мас. % МоО₃, которые выращены из компонент, подвергнутых обработке смесью азотной кислоты и перекиси водорода под воздействием УФ-излучения, не изменяют своей оптической прозрачности. После нагревания потемненных кристаллов молибдата свинца на воздухе выше 200°С их оптическая прозрачность восстанавливается.

Результаты исследования фотохромного эффекта в кристаллах чолибдата свинца, выращенных по описанной в работе методике, сведены в таблице.

N	Крвсталя	Тип химичес- кой обработки окислов при сиптезе	Цвет до УФ-облу- ченяя	Цвет после УФ-облу- чения	Рассе- яние
1	PbMoO4 1 Mac. % PbO		Желтый	Желтый	Есть
2	PbMoO4 1 mac. % MoO3	HNO ₃	Бесцветный	Черный	Есть
3	PbMoO4 I Mac % MoO3	H_2O_2	Бесцветный	Черный	Есть
4	PhMoO4 I Mac. % MoO3	$HNO_3 + H_2O_2$	Бесцветный	Бесцветный	Есть
5	.PbMoO4	HNO ₃ +H ₂ O ₂	Беспветный	Бесцветный	Нет

Из таблицы видно, что наилучший результат (отсутствие фотохромного эффекта) достигается при доокислении шихты смесью азотной кислоты и перекиси водорода.

Таким образом, можно утверждать, что:

фотохромными центрами являются дефекты, обусловленные низковалентными нопами молибдена в шихте, из которой выращивался кристал PbMoO4;

доокислением окислов молибдена до состояния MoO₈ и избирательным растворением избытков MoO₈ и PbO можно получить шихту, из которой можно выращивать кристаллы PbMoO₄, не подверженные фотохронизму и не обладающие центрами рассеяния.

Институт физических исследований Национальной академии наук Армении

> Ն, Ռ, ԱՂԱՄԱԼՑԱՆ, Է, Ս, ՎԱՐԴԱՆՑԱՆ, Ի, Ա, ՂԱՄԲԱՐՑԱՆ, Լ. Մ, ՂԱԶԱՐՅԱՆ, Ռ. Ս. ՄԻՔԱՑԵԼՑԱՆ, Ռ. Բ. ԿՈՍՏԱՆՑԱՆ, Ռ. Կ. ՀՈՎՍԵՓՑԱՆ

Ֆուտոակտիվ և ցրման կենտրոնների առաջացման պայմանների հետազոտությունը կապարի մոլիբդատի բյուրեղներում

Աշխատանքում ուսումնասիրված են կապարի մոլիբդատի թյուրեղների կիրառմանը խոչընդոտող այնպիսի դեֆեկտների առաջացման և նրանց վե-

ցածը վալենտակած, որ, մասնավորապես, ֆոտոակտիվ կենտրոններ են հանդիսանում այն դեֆեկտները, որոնք պայմանավորված են բովախառնուրդում «Հան-

Առաջարկված է ստեխիոմետրիկ բաղադրությամր բովախառնուրդ ստանալու հղանակ՝ մոլիբդենի ցածր վալենտականություն ունեցող օքսիդների թթվեցում մինչև m₀O₈ վիճակը, այնուհետև հիմնական կոմպոնենտների ավելցուկի M₀O₃ և PhO անջատումը՝ ընտրողական լուծման եղանակով։

ուները հղանակով ստացված բովախառնուրդն ապահովում է կապարի Մոլիրդատի թյուրեղների աճեցում՝ առանց ցրման ու ֆոտոակտիվ կենտրոն-

ներիլ

ЛИТЕРАТУРА—9 РИЧИЦП РЕЗПРЫ

¹ Hj. Bernhard, Phys. stat. sol. (a). v. 45, p. 353, (1978). ²W. Van Loo. J. Solid stat. chem., v. 14, p. 359 (1975), ³ T Saton, A. Ohhara, N. Fuyii, e. a., J. Crystal Growth, v. 24—25, p. 437 (1975). ⁴ S. Takano, S. Esashi, K. Mori, e. a., J. Crystal Growth, v. 24—25, p. 411 (1974). ⁵ K. Sceedharen, Pillat, M. A. Jityachen, J. Crystal Growth v. 37, p. 287 (1977). ⁶ Z. Vesselinov, Krist, und Tech., B 12, s. K 36. (1977). ⁷ K. Savage, J. Crystal Growth v. 21, p. 1 (1974). ⁸ Гидрометаллургия, М., 1978. ⁹ М. В. Мосо-хоев, Ж. Г. Базарова, Сложные оксиды молибдена и вольфрама с элементами I—1V групп, М., Наука, 1990. ¹⁰ Акустические кристаллы. М., Наука, 1982.